

การศึกษาร่องผสมอากาศ โดยแบบจำลองทางน้ำล้นแบบอุโมงค์ของ เชื้อนน้ำโจน



นายถวัลย์ วานิชวัฒนากุล

วิทยานิพนธ์นี้เป็นส่วนหนึ่งของการศึกษาตามหลักสูตรปริญญาวิศวกรรมศาสตรมหาบัณฑิต

ภาควิชาวิศวกรรมโยธา

บัณฑิตวิทยาลัย จุฬาลงกรณ์มหาวิทยาลัย

พ.ศ. ๒๕๒๕

ISBN 974-561-616-8

010512

I 15721.537.

HYDRAULIC MODEL STUDIES OF AERATION GROOVES

FOR NAM CHON SPILLWAY TUNNEL

Mr. Tawal Wanishwatanakul

A Thesis Submitted in Partial Fulfillment of the Requirements

for the Degree of Master of Engineering

Department of Civil Engineering

Graduate School

Chulalongkorn University

1982

หัวข้อวิทยานิพนธ์

การศึกษาเรื่องผสมอากาศ โดยแบบจำลองทางน้ำล้นแบบอุโมงค์  
ของ เชื้อนน้ำโจน

โดย

นายถวัลย์ วานิชวัฒนากุล

ภาควิชา

วิศวกรรมโยธา

อาจารย์ที่ปรึกษา

รองศาสตราจารย์ วรณ คุณวาสิ

อาจารย์ที่ปรึกษาร่วม

รองศาสตราจารย์ ปรีดา สีมากร



บัณฑิตวิทยาลัย จุฬาลงกรณ์มหาวิทยาลัย อนุมัติให้วิทยานิพนธ์ฉบับนี้ เป็นส่วนหนึ่งของการ  
ศึกษาตามหลักสูตรปริญญาโทบัณฑิต

*สุพรรณิภา คุณนา*

..... คณบดีบัณฑิตวิทยาลัย

(รองศาสตราจารย์ ดร.สุประดิษฐ์ คุณนา)

*ดร. น. ส.*

..... ประธานกรรมการ

(ศาสตราจารย์ ดร.นิวัฒน์ ดารานันทน์)

*จักรี จิตตะศรี*

..... กรรมการ

(รองศาสตราจารย์ จักรี จิตตะศรี)

*ธำรง เปรมปรีดิ์*

..... กรรมการ

(รองศาสตราจารย์ ธำรง เปรมปรีดิ์)

*ดร. วรณ คุณวาสิ*

..... กรรมการ

(รองศาสตราจารย์ วรณ คุณวาสิ)

*ปรีดา สีมากร*

..... กรรมการ

(รองศาสตราจารย์ ปรีดา สีมากร)

ลิขสิทธิ์ของบัณฑิตวิทยาลัย จุฬาลงกรณ์มหาวิทยาลัย

หัวข้อวิทยานิพนธ์	"การศึกษาร่องผสมอากาศ โดยแบบจำลองทางน้ำล้นแบบอุโมงค์ของเขื่อนน้ำโจน"
ชื่อนิสิต	นายถวัลย์ วาณิชวัฒนากุล
อาจารย์ที่ปรึกษา	รศ. วรณ คุ้มวาสี
อาจารย์ที่ปรึกษาร่วม	รศ. ปรีดา อีมากร
ภาควิชา	วิศวกรรมโยธา
ปีการศึกษา	๒๕๒๕



#### บทคัดย่อ

เขื่อนน้ำโจนเป็นโครงการหนึ่งของโครงการพัฒนาไฟฟ้าพลังน้ำ ลุ่มน้ำแควใหญ่ตอนบน ลักษณะ เป็น เขื่อนหินถมแกนดินเหนียวสูง ๑๘๗ ม. ทางน้ำล้นประกอบด้วยอุโมงค์สองอุโมงค์ เส้นผ่าศูนย์กลาง ๕.๐ ม. ในกรณีที่จำเป็นต้องระบายน้ำออกจากอ่างเก็บน้ำอย่างกะทันหัน น้ำในอุโมงค์จะไหลด้วยความเร็วสูงมากจนเป็นเหตุให้เกิดการกร่อนทำลายเนื่องจากความดันต่ำ\* (Cavitation) ก่อความเสียหายให้กับอุโมงค์ทางน้ำล้น การติดตั้งร่องผสมอากาศ (Aeration groove) ขึ้นในอุโมงค์ สามารถป้องกันการเกิดการกร่อนทำลายเนื่องจากความดันต่ำได้ โดยน้ำที่ไหลผ่านร่องผสมอากาศจะพาเอาอากาศจากร่องติดไปด้วย ร่องผสมอากาศที่ติดตั้งการไหลวนของอากาศในร่องจะเป็นไปได้มากและสะดวก ซึ่งจะช่วยให้เพิ่มความดันน้ำในอุโมงค์ให้สูงขึ้นได้ ปัญหาของการติดตั้งร่องผสมอากาศอยู่ที่ว่า จะติดตั้งที่ตำแหน่งใด และร่องผสมอากาศที่ใช้ควรมีลักษณะและขนาดเท่าไรจึงจะเหมาะสมกับอุโมงค์ทางน้ำล้น เขื่อนน้ำโจน เนื่องจากทฤษฎีที่ใช้วิเคราะห์เพื่อการออกแบบร่องผสมอากาศที่ดียังไม่มีการศึกษาวิจัยที่ชัดเจนจำเป็นต้องอาศัยประสบการณ์ในการออกแบบแล้วนำมาตรวจสอบโดยใช้การทดลองจากแบบจำลอง แบบจำลองทางน้ำล้น เขื่อนน้ำโจนใช้มาตราส่วนความยาวระหว่างแบบจำลองต่อของจริงเท่ากับ ๑ ต่อ ๖๔.๖๑ การทดลองเพื่อหาตำแหน่งที่เหมาะสมในการติดตั้งร่องผสมอากาศกระทำโดยติดตั้งร่องผสมอากาศที่เหมือนกันจำนวนเจ็ดร่องที่บริเวณต่าง ๆ ของอุโมงค์ อันได้แก่ ทางน้ำล้น, Transition, Inclined Shaft, Vertical Bend และด้านท้ายน้ำที่ออกจาก Vertical Bend (รูปที่ 5)

\* ความดันต่ำในที่นี้ หมายถึง เมื่อเทียบกับความดันไอ (Vapor pressure)

ส่วนการเปรียบเทียบหอร่องผสมอากาศที่เหมาะสมที่ใช้ติดตั้ง กระทำโดยติดตั้งหอร่องผสมอากาศที่ต่างกัน สามร่อง ตามที่แสดงไว้ใน รูปที่ 6 ข้อมูลที่ได้จากการทดลองได้แก่ การกระจายของความดันน้ำ การกระจายของความเร็วน้ำที่ความลึกต่าง ๆ และสภาพการไหลของน้ำในอุโมงค์ จากข้อมูลที่ได้ (รูปที่ 37-39, 44-46) เมื่อนำมาวิเคราะห์หอร่องสามารถสรุปได้ว่า ตำแหน่งที่สมควรให้มีการติดตั้งหอร่องผสมอากาศ อยู่ที่ระยะประมาณ ๑๒๐ ม. ในแนวระดับห่างจากสันทางน้ำล้นเพียงตำแหน่งเดียว ส่วนการเปรียบเทียบหอร่องผสมอากาศที่เหมาะสมในการติดตั้งจากร่องผสมอากาศสี่ร่อง ซึ่งมีลักษณะดังที่แสดงไว้ใน รูปที่ 35 และ 43 ร่องผสมอากาศที่เหมาะสมที่สุดเป็นร่องผสมอากาศแบบใน รูปที่ 35 อย่างไรก็ตาม ร่องผสมอากาศที่ได้นี้ยังให้ประสิทธิภาพที่น่าพอใจไม่เท่าที่ควร น่าจะได้มีการวิจัยเพิ่มเติมเกี่ยวกับขนาดของร่องผสมอากาศให้มากขึ้น เพื่อให้ได้ร่องผสมอากาศที่เหมาะสมที่สุด

๑

Thesis Title "Hydraulic Model studies of Aeration Grooves  
for Nam Chon Spillway Tunnel"

Name Mr. Tawal Wanishwatanakul

Thesis Advisor Associate Professor Varoon Khunvasi

Thesis Co-Advisor Associate Professor Preeda Thimakorn

Department Civil Engineering

Academic Year 1982



ABSTRACT

Nam Chon Dam which is located on the Qua Yai river is one of the major hydro-power development project in Thailand. The main project component is the rockfill dam with impervious core, 187 m. high. Two spillway tunnels of 9.0 m. in diameter are proposed to release the excess outflow. In case of probable maximum flood, an emergency high discharge over the spillways which creates very high velocity flow through the spillway tunnels will result in cavitation which will damage the spillway tunnels. The protection therefore is required by installation of the aeration grooves. By this way, the circulated air will be induced into the grooves and as a consequence will increase water pressure in the tunnels. Danger entrainment caused by may help improving the condition, grooves location, configuration and its dimensions are vital parameters to the study. Analytical method to determine the position and geometry can not be done alone, experience and experimentation become necessary. Nam Chon Dam spillway tunnels model use linear scale ratio 1 to 64.61, to define the suitable locations of the grooves, seven grooves are installed at various

locations such as transition, inclined shaft, vertical bend and at the end of the vertical bend (Fig.5). For aeration grooves selection, three different grooves are installed as shown in Fig.6. Data collection from the experimentation are that pressure distributions, velocity profiles and flow characteristics. It can be concluded that (from Fig.37-39, 44-46) only at the horizontal distance approximately 120 m. from the spillway crest, the aeration grooves as shown in Fig.35 (selected from 4 different grooves as shown in Fig.35 and 43) must be installed. However, it should be studied more details of the aeration grooves in order to define the most efficient aeration groove.



## กิตติกรรมประกาศ

วิทยานิพนธ์นี้ คุณชูลิต วัชรสินธุ์ เป็นผู้ริเริ่มให้ข้าพเจ้าเกิดแนวทางในการทำการวิจัย โดยมี รองศาสตราจารย์ วรณ คุ้มวาสี และ รองศาสตราจารย์ ปรีดา อีมากร เป็นผู้ให้คำปรึกษา ตลอดมา และได้รับความ เชื่อเฟื้อจากภาควิชาวิศวกรรมแหล่งน้ำ สถาบันเทคโนโลยีแห่งเอเชีย (AIT) ในการให้ยืมสถานที่และอุปกรณ์ในการทำการวิจัย นอกจากนี้ยังได้รับความช่วยเหลือจาก คุณปรีชา คำรณ ฤทธิ์สร อาจารย์ประจำห้องทดลอง และเจ้าหน้าที่ประจำห้องทดลองของ AIT อีกหลายท่าน ตลอด จนบัณฑิตวิทยาลัย จุฬาลงกรณ์มหาวิทยาลัยที่กรุณาให้ทุนในการทำการวิจัย ข้าพเจ้ารู้สึกซาบซึ้งและขอ ขอบพระคุณทุกท่าน เป็นอย่างยิ่งที่ทำให้วิทยานิพนธ์ เล่มนี้สำเร็จลงได้ด้วยดี





สารบัญ

	หน้า
บทคัดย่อภาษาไทย .....	๒
บทคัดย่อภาษาอังกฤษ .....	๓
กิตติกรรมประกาศ .....	๓
สารบัญ .....	๓
สารบัญตาราง .....	๕
สารบัญ ภาพ .....	๕
คำอธิบายสัญลักษณ์ .....	๓
บทที่ ๑ บทนำ .....	1-7
- ความสำคัญของปัญหา .....	1
- วัตถุประสงค์การวิจัย .....	3
- ขอบเขตการวิจัย .....	4
- การดำเนินการวิจัยโดยย่อ .....	4
- ทฤษฎีและแนวความคิด .....	4
- ประโยชน์ที่ได้จากการวิจัย .....	6
บทที่ ๒ แบบจำลองทางด้านชลศาสตร์ (Hydraulic Model) .....	8-13
- ความคล้ายคลึงกัน (Similitude).....	8
- แบบจำลองของโครงสร้างที่เป็นทางน้ำเปิด (Hydraulic structure Model of Open Channel)	11
- แบบจำลองทางน้ำล้น เชื่อนน้ำโจน .....	12
บทที่ ๓ การก่อสร้างแบบจำลองทางน้ำล้น เชื่อนน้ำโจน .....	14-16

บทที่ ๔	ร่องผสมอากาศ .....	17-20
บทที่ ๕	การวิจัยทางน้ำล้นของแบบจำลองเขื่อนน้ำโจน (Nam Chon Spillway Hydraulic model Research) .....	21-22
บทที่ ๖	สรุปการวิจัยและข้อเสนอแนะ .....	23-27
	- คุณสมบัติทั่วไปของอุโมงค์ทางน้ำล้นเขื่อนน้ำโจน .....	23
	- การกระจายของความดันน้ำที่ท้องอุโมงค์ .....	24
	- ข้อเสนอสรุปและข้อเสนอแนะ .....	26
ตาราง	.....	66
เอกสารอ้างอิง	.....	69
ภาคผนวก	.....	71
ประวัติผู้วิจัย	.....	74

สารบัญตาราง

	หน้า
ตารางที่ ๑ Scale Ratio .....	67
ตารางที่ ๒ Spillway Rating curve Data (Full gate opening) .....	68



สารบัญภาพ

รูปที่	หน้า
1 KEY AND LOCATION MAP .....	28
2 Nam Chon Dam General Plan .....	29
3 NAM CHON DAM SPILLWAY (Plan and Section) .....	30
4 NAM CHON DAM SPILLWAY (Model Layout) .....	31
5 NAM CHON DAM SPILLWAY NO.1 (With 7 Aeration grooves) .....	32
6 NAM CHON DAM SPILLWAY NO.1 (With 3 Aeration grooves) .....	33
7 ระดับพลังงานต่าง ๆ ที่จุด A .....	34
8 ลักษณะหน้าตัดของร่องผสมอากาศ .....	34
9 THE SIMILARITY OF MODEL AND PROTOTYPE .....	35
10 NAM CHON DAM SPILLWAY (Spillway Intakes) .....	36
11 NAM CHON DAM SPILLWAY (General View of the Model) .....	37
12 NAM CHON DAM SPILLWAY (The Piezometer) .....	38
13 Possible Irregularity of flow Surfaces.....	39
14 Flow Action and Cavitation Damage at Flow Surface Irregularities .....	39
15 Cavitation Potential and Characteristic for Offsets away from flow .....	39
16 Pressures and Flow Velocities for Incipient Cavitation at:	

สารบัญภาพ (ต่อ)

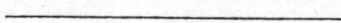
รูปที่	หน้า
(a) Square-Edged Offsets into flow	
(b) Round-Edged Offsets into flow	
(c) Slopes into and away from flow .....	40
17 Damage Downstream from 1/8 in. Offset into Flow Stream Velocity $\approx$ 100 fps, Palisades Dam .....	41
18 Damage at Large Offset into Flow in Gate Slot :	
(a) Left Slide of Sluice at Libby Dam;	
(b) Right Slide of Sluice at Libby Dam .....	41
19 Start of Damage at Slope away from Flow, Corner of Gate Frame, Palisades Dam Outlet .....	41
20 Damage at Slope away from Flow after Prolonged Operation, Corner of Gate Frame, Palisades Dam Outlet .....	41
21 Damage Downstream from Away-from-Flow Offset at End of :	
(a) Steel Lining, Lucky Peak Dam Outlet;	
(b) 1/2 in. Thick Epoxy Mortar Lining, Dworshak Dam Outlet..	42
22 Flow Action and Damage at Curved Surfaces into and away from Flow .....	42
23 Damage Due to Curvature away from Flow, Spillway Face, Grand Coulee Dam .....	42
24 Damage Downstream from "Bug Holes" in Concrete Wall of Palisades Dam Outlet, Velocity $\approx$ 100 fps. ....	42

## สารบัญภาพ (ต่อ)

รูปที่	หน้า
25	
Damage Downstream from : (a) Recess in Concrete Wall, Brazeau Conduit, Canada; (b) Stop Log Slot, Glendo Dam Outlet Works ; (c) Gate Slot, Parket Dam Spillway .....	43
27	
Ultimate Erosion Triggered by Protruding Joint with High Velocity and Pressure in Fault, Hoover Dam Spillway Tunnel	43
28	
Cavitation Erosion at Palisades Dam Outlet Works Portal...	44
29	
Slope away from Flow, Grand Coulee Dam Outlets .....	44
30	
Damage Downstream from Slope away from Flow, Exit of Grand Coulee Dam Outlet :	
(a) Looking Upstream ; (b) Looking Downstream .....	44
31	
Local pressure reduction as related to velocity variation	45
32	
Main types of aerator devices .....	45
33	
Air entraining mechanism .....	46
34	
V-NOTCH WEIR .....	46
35	
AERATION GROOVE (Without ramp) .....	47
36	
SPILLWAY RATING CURVE (Full gate opening) .....	48
37-39	
Pressure Distribution along the Spillway and Tunnels (without ramp)	49-54
Discharge = 750 cms. ....	49
Discharge = 1,500 cms. ....	51
Discharge = 2,500 cms. ....	53

สารบัญภาพ (ต่อ)

รูปที่	หน้า
40-42 Velocity Profile of Spillway Tunnel .....	55-58
Discharge = 750 cms. ....	55
Discharge = 1,500 cms. ....	56
Discharge = 2,500 cms. ....	57
43 AERATION GROOVE (With ramp) .....	58
44-46 Pressure Distribution along the Spillway and Tunnels	59-64
(With ramp)	
Discharge = 750 cms. ....	59
Discharge = 1,500 cms. ....	61
Discharge = 2,500 cms. ....	63
47 General Flow Conditions at the Tunnel .....	65



## คำอธิบายสัญลักษณ์



A	พื้นที่ในแบบของจริง
$A_m$	พื้นที่ในแบบจำลอง
$a_3, a_4$	อัตราเร่งของอนุภาคของไหลในแบบของจริง
$a_{3m}, a_{4m}$	อัตราเร่งของอนุภาคของไหลในแบบจำลอง
C	ความเข้มข้นของปริมาณอากาศในน้ำ
d	ความยาวในแบบของจริง
$d_m$	ความยาวในแบบจำลอง
E	โมดูลัสความยืดหยุ่น (Modulus of Elasticity) ของของไหล
$F_1, F_2, F_3$	แรงที่มากกระทำกับมวลของของไหลในแบบของจริง
$F_{1m}, F_{2m}, F_{3m}$	แรงที่มากกระทำกับมวลของของไหลในแบบจำลอง
$F_r$	มาตราส่วนของแรงที่กระทำต่อของไหลระหว่างแบบจำลองต่อแบบของจริง
G, g	อัตราเร่งเนื่องจากแรงโน้มถ่วงของโลก
H	ค่าผลรวมของพลังงานในรูปความสูงของน้ำ (Total head)
$H_v$	ค่าพลังงานของความเร็วในรูปความสูงของน้ำ (Velocity head)
h	ระยะความสูงของน้ำเหนือ Weir crest
$h_a$	ค่าความดันสมบูรณ์ในรูปความสูงของน้ำ (Absolute pressure head)
$h_s$	ระยะความสูงของน้ำในอ่างเก็บน้ำจากสันทางน้ำล้น
$h_v$	ค่าความดันไอในรูปความสูงของน้ำ (Vapor pressure head)
K	ดัชนีการร่อนทำลายเนื่องจากความดันต่ำ (Cavitation index)
$K_i$	ดัชนีการร่อนทำลายเริ่มแรกเนื่องจากความดันต่ำ (Incipient cavitation index)
$L_r$	มาตราส่วนความยาวระหว่างแบบจำลองต่อแบบของจริง
l	ความยาวในแบบของจริง
$l_m$	ความยาวในแบบจำลอง



M	มวลของของไหลในแบบของจริง
$M_m$	มวลของของไหลในแบบจำลอง
p	ค่าความดันของของไหล
$p_a$	ค่าความดันบรรยากาศ (Atmospheric pressure)
$p_v$	ค่าความดันไอ (Vapor pressure)
$\Delta p$	ผลต่างของความดันของของไหล
Q	อัตราการไหลของน้ำ
$Q_m$	อัตราการไหลของของไหลในแบบจำลอง
$Q_p$	อัตราการไหลของของไหลในแบบของจริง
$Q_r$	มาตราส่วนอัตราการไหลของของไหลในแบบจำลองต่อในแบบของจริง
$T_r$	มาตราส่วนของ เวลาในแบบจำลองต่อในแบบของจริง
V	ปริมาตรในแบบของจริง
$V_a$	ปริมาตรของอากาศ
$V_m$	ปริมาตรในแบบจำลอง
$V_w$	ปริมาตรของน้ำ
$v, v_o$	ความเร็วของการไหลของของไหล
$v_1, v_2$	ความเร็วของอนุภาคของของไหลในแบบของจริง
$v_m, v_{1m}, v_{2m}$	ความเร็วของอนุภาคของของไหลในแบบจำลอง
$v_p$	ความเร็วของอนุภาคของของไหลในแบบของจริง
$v_r$	มาตราส่วนความเร็วของของไหลในแบบจำลองต่อของจริง
Z	ระยะความสูงจาก เส้น เปรียบ เทียบ
$Z_A$	ระยะความสูงจาก เส้น เปรียบ เทียบถึงจุด A
$\gamma$	น้ำหนักจำเพาะของของไหล
$\gamma_w$	น้ำหนักจำเพาะของน้ำ
$\theta$	มุมแห่งความลาดชันของทางน้ำเปิด
$\rho$	ความหนาแน่นของของไหล

$\sigma$	ความตึงผิว (Surface tension)
$\mu$	ความหนืดของของไหล (Dynamic Viscosity)
[...]	เอกสารอ้างอิง